

DETECTION OF E6/E7 mRNA FROM CaSki CELLS

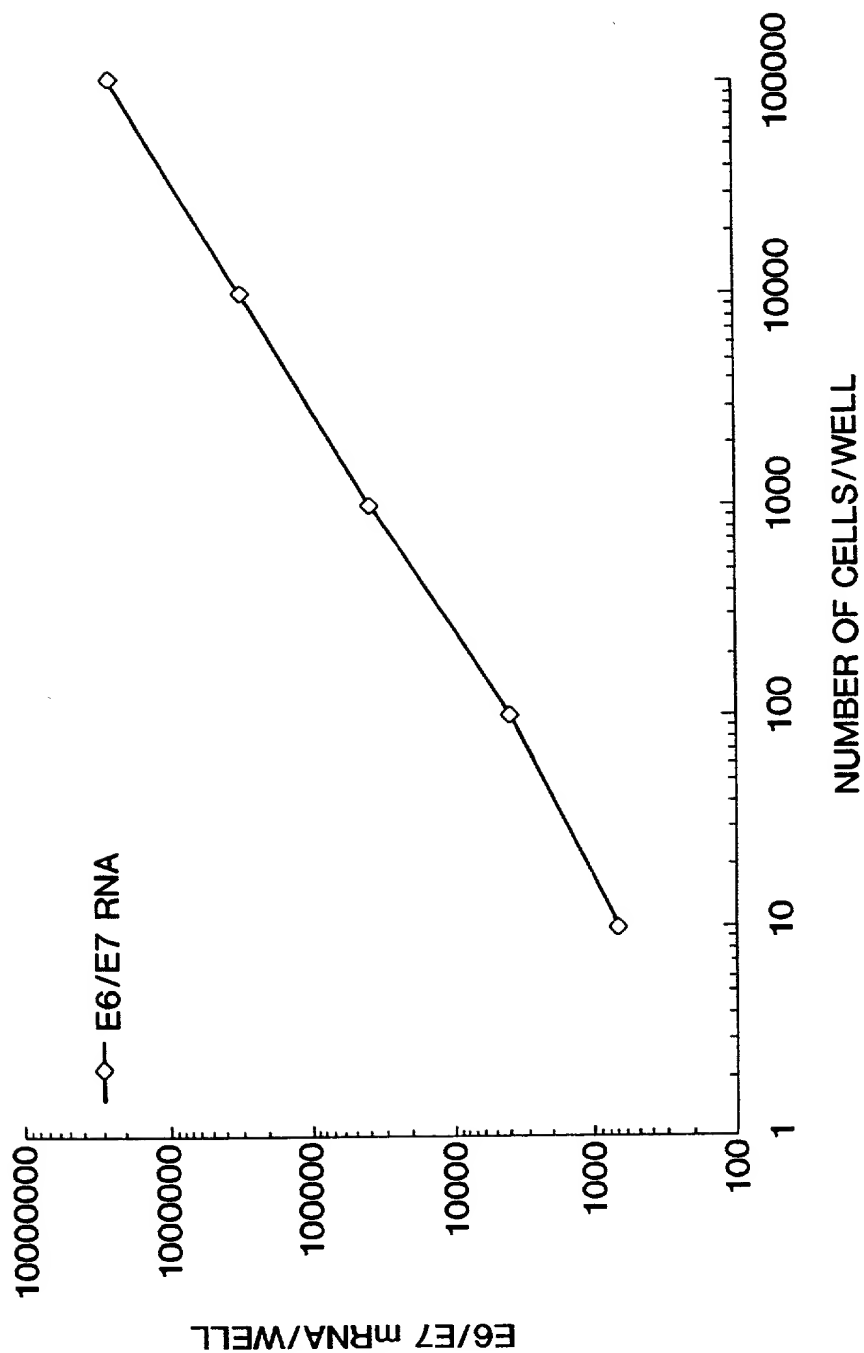


FIG. 1

ANALYTICAL SENSITIVITY OF HPV L1 RNA ASSAY

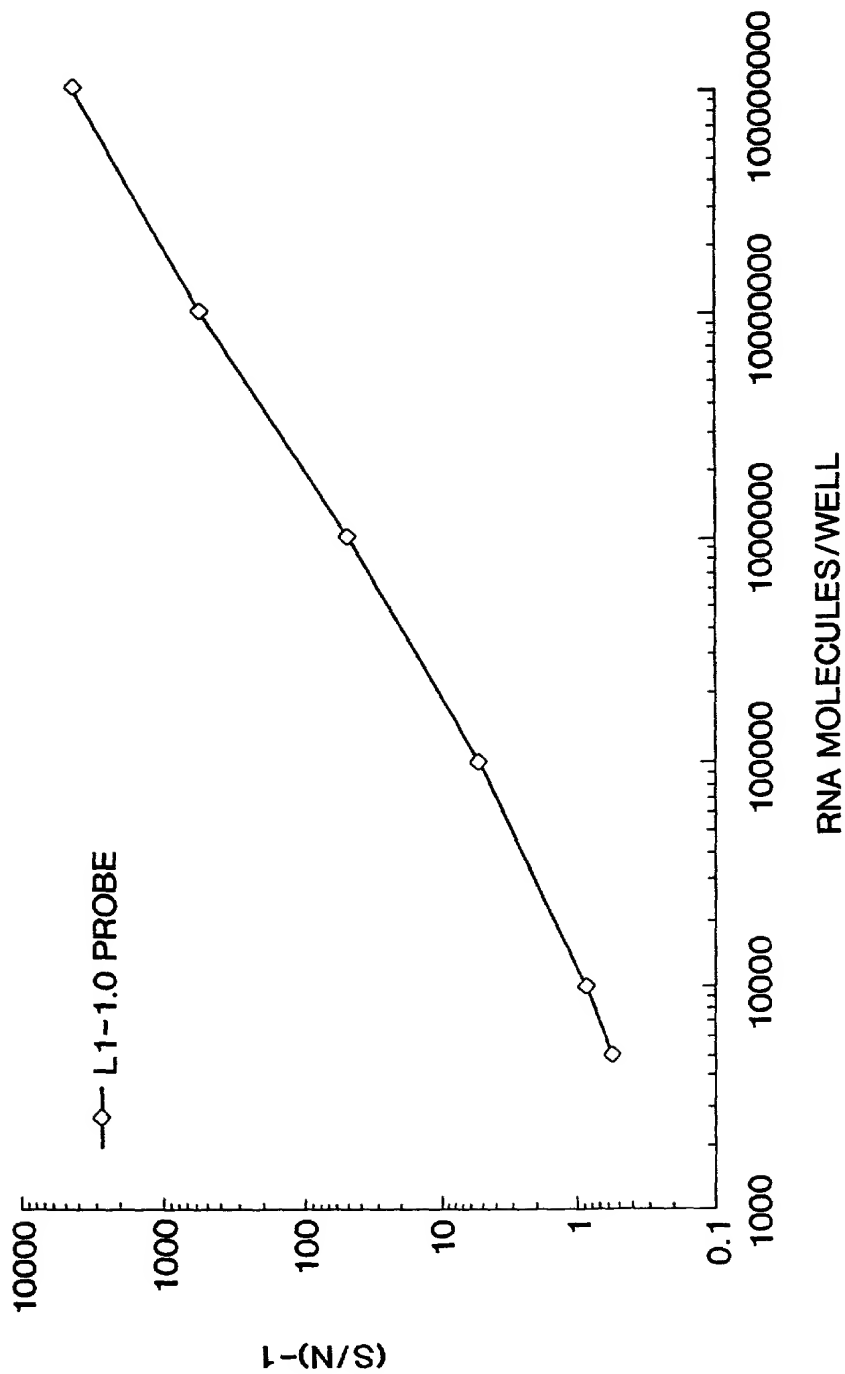


FIG. 2

L2-HPV16

TTGTTGTATACCATAACTTACTATTTTTCTTTTTTATTTTCATATATAATTTTTTTTTT
TGTTTGTTTGTTTGTTTTTAATAAACTGTTATTACTTAACAATGCGACACAAACGTTCT
GCAAAACGCACAAACGTGCATCGGCTACCCAACCTTTATAAAACATGCAAACAGGCAGGT
ACATGTCCACCTGACATTATACCTAAGGTTGAAGGCAAACTATTGCTGAACAAATATTA
CAATATGGAAGTATGGGTGTATTTTTTGGTGGGTAGGAATTGGAACAGGGTCGGGTACA
GGCGGACGCACTGGGTATATTCCATTGGGAACAAGGCCTCCACAGCTACAGATACACTT
GCTCCTGTAAGACCCCTTTAACAGTAGATCCTGTGGGCCCTTCTGATCCTTCTATAGTT
TCTTTAGTGGAAGAACTAGTTTTATTGATGCTGGTGCACCAACATCTGTACCTTCCATT
CCCCCAGATGTATCAGGATTTAGTATTACTACTTCAACTGATACCACACCTGCTATATTA
GATATTAATAATACTGTTACTACTGTTACTACATAATAATCCCACTTTCACTGACCCA
TCTGTATTGCAGCCTCCAACACCTGCAGAACTGGAGGGCATTTTACACTTTCATCATCC
ACTATTAGTACACATAATTATGAAGAAATTCCTATGGATACATTTATTGTTAGCACAAAC
CCTAACACAGTAACTAGTAGCACACCCATACCAGGGTCTCGCCAGTGGCACGCCTAGGA
TTATATAGTCGCACAACACAACAGGTTAAAGTTGTAGACCCTGCTTTTGTAACCACTCCC
ACTAACTTATTACATATGATAATCCTGCATATGAAGGTATAGATGTGGATAATACATTA
TATTTTTCTAGTAATGATAATAGTATTAATATAGCTCCAGATCCTGACTTTTTGGATATA
GTTGCTTTACATAGGCCAGCATTAACCTCTAGGCGTACTGGCATTAGGTACAGTAGAATT
GGTAATAAACAAACACTACGTACTCGTAGTGGAATCTATAGGTGCTAAGGTACATTAT
TATTATGATTTAAGTACTATTGATCCTGCAGAAGAAATAGAATTACAACTATAACACCT
TCTACATATACTACCACTTCACATGCAGCCTCACCTACTTCTATTAATAATGGATTATAT
GATATTTATGCAGATGACTTTATTACAGATACTTCTACAACCCCGGTACCATCTGTACCC
TCTACATCTTTATCAGGTTATATTCCTGCAAATACAACAATTCCTTTTGGTGGTGCATAC
AATATTCCTTTAGTATCAGGTCCTGATATACCCATTAATATAACTGACCAAGCTCCTTCA
TTAATTCCTA

Fig. 3

L1-HPV16

GAGGCCACTGTCTACTTGCCTCCTGTCCCAGTATCTAAGGTTGTAAGCACGGATGAATAT
GTTGCACGCACAAACATATATTATCATGCAGGAACATCCAGACTACTTGCAGTTGGACAT
CCCTATTTTCCTATTAAAAAACCTAACATAACAAAATATTAGTTCCTAAAGTATCAGGA
TTACAATACAGGGTATTTAGAATACATTTACCTGACCCCAATAAGTTTGGTTTTCTGAC
ACCTCATTTTATAATCCAGATACACAGCGGCTGGTTTGGGCCTGTGTAGGTGTTGAGGTA
GGTCGTGGTCAGCCATTAGGTGTGGGCATTAGTGGCCATCCTTTATTAAATAAAATTGGAT
GACACAGAAAATGCTAGTGCTTATGCAGCAAATGCAGGTGTGGATAATAGAGAATGTATA
TCTATGGATTACAAACAAACACAATTGTGTTTAATTGGTTGCAAACCACCTATAGGGGAA
CACTGGGGCAAAGGATCCCCATGTACCAATGTTGCAGTAAATCCAGGTGATTGTCCACCA
TTAGAGTTAATAAACACAGTTATTCAGGATGGTGATATGGTTCATACTGGCTTTGGTGCT
ATGGACTTTACTACATTACAGGCTAACAAAAGTGAAGTCCACTGGATATTTGTACATCT
ATTTGCAAATATCCAGATTATATTAAAAATGGTGTGAGAACCATATGGCGACAGCTTATTT
TTTTATTTACGAAGGGAACAAATGTTTGTAGACATTTATTTAATAGGGCTGGTACTGTT
GGTGAAAATGTACCAGACGATTTATACATTAAAGGCTCTGGGTCTACTGCAAATTTAGCC
AGTTCAAATTATTTTCCTACACCTAGTGGTTCTATGGTTACCTCTGATGCCCAAATATTC
AATAAACCTTATTGGTTACAACGAGCACAGGGCCACAATAATGGCATTGTGTTGGGGTAAC
CAACTATTTGTTACTGTTGTTGATACTACACGCAGTACAAATATGTCATTATGTGCTGCC
ATATCTACTTCAGAACTACATATAAAAATACTAACTTTAAGGAGTACCTACGACATGGG
GAGGAATATGATTTACAGTTTATTTTTCAACTGTGCAAATAACCTTAACTGCAGACGTT
ATGACATACATACATTCTATGAATTCACCTATTTTGGAGGACTGGAATTTTGGTCTACAA
CCTCCCCCAGGAGGCACACTAGAAGATACTTATAGGTTTGTAACCCAGGCAATTGCTTGT
CAAAAACATACACCTCCAGCACCTAAAGAAGATGATCCCCTTAAAAAATACACTTTTTGG
GAAGTAAATTTAAAGGAAAAGTTTTCTGCAGACCTAGATCAGTTTCCTTTAGGACGCAAA
TTTTTACTACAAGCAGGATTGAAGGCCAAACCAAAATTTACATTAGGAAAACGAAAAGCT
ACACCCACCACCTCATCTACCTCTACAACTGCTAAACGCAAAA

Fig. 4

E6/E7-HPV16

ACATTTTATGCACCAAAGAGAACTGCAATGTTTCAGGACCCACAGGAGCGACCCAGAAA
GTTACCACAGTTATGCACAGAGCTGCAAACAATAACATGATATAATATTAGAATGTGT
GTACTGCAAGCAACAGTTACTGCGACGTGAGGTATATGACTTTGCTTTTCGGGATTTATG
CATAGTATATAGAGATGGGAATCCATATGCTGTATGTGATAAATGTTTAAAGTTTATTC
TAAAATTAGTGAGTATAGACATTATTGTTATAGTTTGTATGGAACAACATTAGAACAGCA
ATACAACAAACCGTTGTGTGATTTGTTAATTAGGTGTATTAAGTGTCAAAGCCACTGTG
TCCTGAAGAAAAGCAAAGACATCTGGACAAAAGCAAAGATTCCATAATATAAGGGGTCTG
GTGGACCGGTTCGATGTATGTCTTGTTGCAGATCATCAAGAACACGTAGAGAAACCCAGCT
GTAATCATGCATGGAGATACACCTACATTGCATGAATATATGTTAGATTTGCAACCAGAG
ACAACTGATCTCTACTGTTATGAGCAATTAAATGACAGCTCAGAGGAGGAGGATGAAATA
GATGGTCCAGCTGGACAAGCAGAACCGGACAGAGCCCATTACAATATTGTAACCTTTTGT
TGCAAGTGTGACTCTACGCTTCGGTTGTGCGTACAAAGCACACACGTAGACATTCGTACT
TTGGAAGACCTGTTAATGGGCACACTAGGAATTGTGTGCCCCATCTGTTCTCAGAAACC

Fig. 5

E-2 HPV16

GAGGACGAGGACAAGGAAAACGATGGAGACTCTTTGCCAACGTTTAAATGTGTGTCAGGA
CAAAATACTAACACATTATGAAAATGATAGTACAGACCTACGTGACCATATAGACTATTG
GAAACACATGCGCCTAGAATGTGCTATTTATTACAAGGCCAGAGAAATGGGATTTAAACA
TATTAACCACCAAGTGGTGCCAACACTGGCTGTATCAAAGAATAAAGCATTACAAGCAAT
TGAACTGCAACTAACGTTAGAAACAATATATAACTCACAATATAGTAATGAAAAGTGGAC
ATTACAAGACGTTAGCCTTGAAGTGTATTTAACTGCACCAACAGGATGTATAAAAAACA
TGGATATACAGTGGAAGTGCAGTTTGATGGAGACATATGCAATACAATGCATTATACAAA
CTGGACACATATATATATTTGTGAAGAAGCATCAGTAACTGTGGTAGAGGGTCAAGTTGA
CTATTATGGTTTATATTATGTTTCATGAAGGAATACGAACATATTTTGTGCAGTTTAAAGA
TGATGCAGAAAAATATAGTAAAAATAAAGTATGGGAAGTTCATGCGGGTGGTCAGGTAAT
ATTATGTCCTACATCTGTGTTTAGCAGCAACGAAGTATCCTCTCCTGAAATTATTAGGCA
GCACTTGGCCAACCACCCCGCCGCGACCCATACCAAAGCCGTGCGCTTGGGCACCGAAGA
AACACAGACGACTATCCAGCGACCAAGATCAGAGCCAGACACCGGAAACCCCTGCCACAC
CACTAAGTTGTTGCACAGAGACTCAGTGGACAGTGCTCCAATCCTCACTGCATTTAACAG
CTCACACAAAGGACGGATTAACTGTAATAGTAACACTACACCCATAGTACATTTAAAAGG
TGATGCTAATACTTTAAAATGTTTAAAGATATAGATTTAAAAAGCATTGTACATTGTATAC
TGCAGTGTGCTCTACATGGCATTGGACAGGACATAATGTAAACATAAAAGTGAATTGT
TACACTTACATATGATAGTGAATGGCAACGTGACCAATTTTTGTCTCAAGTTAAAATACC
AAAACTATTACAGTGTCTACTGGATTTATGTC

Fig. 6

E4-HPV16

CTACATCTGTGTTTAGCAGCAACGAAGTATCCTCTCCTGAAATTATTAGGCAGCACTTGG
CCAACCACCCCGCCGCGACCCATACCAAAGCCGTCGCCTTGGGCACCGAAGAAACACAGA
CGACTATCCAGCGACCAAGATCAGAGCCAGACACCGGAAACCCCTGCCACACCACTAAGT
TGTTGCACAGAGACTCAGTGGACAGTGCTCCAATCCTCACTGCATTTAACAGCTCACACA
AAGGACGGATTAACTGTAATAG

Fig. 7

"0000" 22402660